

# Численное моделирование краевых эффектов в оптике аэрозоля и облаков

Л.П. Басс<sup>1</sup>, Т.А. Гермогенова<sup>1</sup>, О.В. Николаева<sup>1</sup>,  
А.А. Кохановский<sup>2,3</sup>, В.С. Кузнецов<sup>4\*</sup>

<sup>1</sup>Институт прикладной математики им. М.В. Келдыша РАН

125047, г. Москва, Миусская площадь, 4, Россия

<sup>2</sup>Институт физики им. Б.И. Степанова НАН Белоруссии, г. Минск, Белоруссия

<sup>3</sup>Институт физики окружающей среды, Бременский университет, Германия

<sup>4</sup>Государственный научный центр «Курчатовский институт»

123182, г. Москва, пл. Академика Курчатова, 1, Россия

Поступила в редакцию 14.08.2008 г.

Рассматривается задача расчета коэффициента яркости отраженного атмосферой солнечного света в присутствии пространственно-локальных горизонтальных неоднородностей (поверхностей разрыва свойств) среды, где не могут быть применены традиционно используемые в таких расчетах одномерные математические модели. Предложена двумерная математическая модель, позволяющая получать детальное пространственное распределение коэффициента яркости в окрестности неоднородности, с ее помощью получены характерные распределения в модельной задаче. Для оперативной оценки размера включающей неоднородность подобласти, вне которой многомерными эффектами в коэффициенте яркости можно пренебречь, предложена квазиодномерная модель и выполнено ее численное тестирование.

*Ключевые слова:* краевые эффекты, облака, математическая модель.

## Введение

Большинство существующих в настоящее время радиационных моделей атмосферы опираются на предположение о ее горизонтальной однородности [1]. Это позволяет использовать для определения радиационных полей хорошо изученную модель плоского слоя [1]. Подобные модели, однако, применимы только к безоблачной атмосфере или к сплошной облачности. При спутниковом зондировании реальной атмосферы [2, 3] необходимо учитывать пространственно-локальные горизонтальные неоднородности (поверхности разрыва свойств среды), а при ее моделировании – использовать многомерные (по пространству) математические модели [5–7]. Однако переход к многомерным моделям приводит к значительному увеличению времени расчета. Поэтому были предложены упрощенные модели, позволяющие приближенно учесть влияние горизонтальной неоднородности облаков на интенсивность отраженного ими солнечного света в различных предположениях о свойствах этих облаков (см., например, [8, 9]). Тем не менее точность таких моделей может быть

недостаточной, поскольку интенсивность излучения вблизи неоднородности сложным образом зависит от пространственных координат.

В настоящей статье предлагается многомерная численная модель, позволяющая найти детальное пространственное распределение световых полей в окрестности неоднородности. Кроме того, представлена упрощенная квазиодномерная модель, которая может быть использована для определения этой окрестности, т.е. для оценки размеров подобластей вблизи неоднородности, где многомерными эффектами в интенсивности излучения нельзя пренебречь.

## 1. Двумерная модель

Рассмотрим алгоритм расчета полей излучения вблизи неоднородности на примере модельной задачи, область расчета которой изображена на рис. 1.

Здесь две среды – облако и аэрозоль – имеют только одну прямую вертикальную общую границу и являются бесконечно протяженными по горизонтали (рассматривается четкая модель границы облако/аэрозоль). Предположим, что азимутальный угол Солнца  $\Phi$  может принимать только два значения: 0 и  $180^\circ$ . В этом случае для решения поставленной задачи можно воспользоваться двумерной моделью, которой соответствует краевая задача для уравнения переноса в  $(x, z)$  геометрии:

\* Леонид Петрович Басс (bass@kiam.ru); Татьяна Анатольевна Гермогенова; Ольга Васильевна Николаева (nika@kiam.ru); Александр Анатольевич Кохановский (alexk@iup.physik.uni-bremen.de); Виктор Сергеевич Кузнецов (lri@bk.ru).

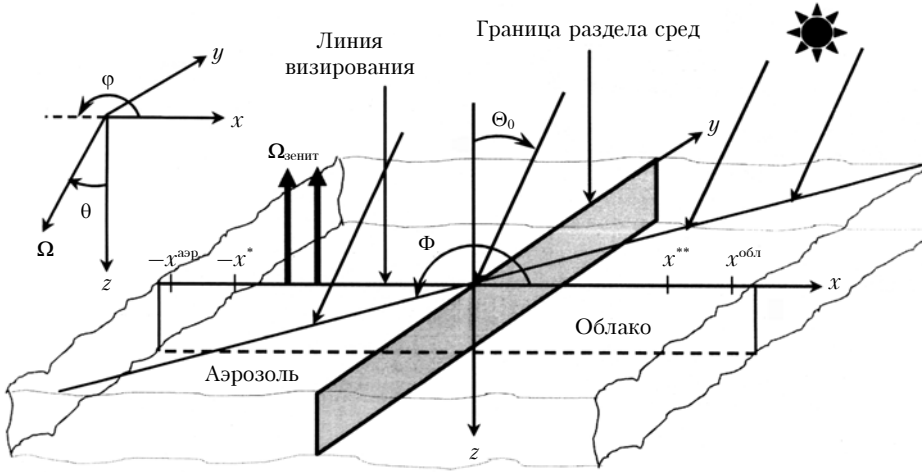


Рис. 1. Область расчета модельной задачи

$$\begin{aligned} \mu \frac{\partial I}{\partial z} + \xi \frac{\partial I}{\partial x} + \sigma(x, z)I = \sigma_S(x, z) \times \\ \times \frac{1}{2\pi} \int_{-1}^1 d\mu' \int_0^\pi d\varphi' \rho(x, z, \chi) I(x, z, \mu', \varphi') + Q(x, z, \mu, \varphi); \quad (1) \\ \chi = \chi(\mu, \varphi, \mu', \varphi') = \mu\mu' + \sqrt{1-\mu^2}\sqrt{1-(\mu')^2} \cos(\varphi - \varphi'), \\ \xi = \sqrt{1-\mu^2} \cos\varphi; \end{aligned}$$

$$-x^{aer} < x < x^{obl}; \quad 0 < z < H; \quad -1 < \mu < 1; \quad 0 < \varphi < \pi.$$

Функция  $I(x, z, \mu, \varphi)$  определяет интенсивность рассеянного света в пространственной точке  $(x, z)$  в области  $[-x^{aer}, x^{obl}] \times [0, H]$  в направлении вектора  $\Omega$  с координатами  $(\mu, \varphi)$ , где  $\mu = \cos\theta$ ,  $\theta$  – полярный угол,  $\varphi$  – азимутальный угол (см. рис. 1);  $\sigma$  – сечение экстинкции;  $\sigma_S$  и  $\rho$  – сечение и фазовая функция рассеяния соответственно, являющиеся кусочно-постоянными функциями горизонтальной координаты  $x$ :

$$\begin{aligned} \sigma(x, z) &= \begin{cases} \sigma^{obl}(z) & \text{при } x > 0, \\ \sigma^{aer}(z) & \text{при } x < 0, \end{cases} \\ \sigma_S(x, z) &= \begin{cases} \sigma_S^{obl}(z) & \text{при } x > 0, \\ \sigma_S^{aer}(z) & \text{при } x < 0; \end{cases} \\ \rho(x, z, \chi) &= \begin{cases} \rho^{obl}(z, \chi) & \text{при } x > 0, \\ \rho^{aer}(z, \chi) & \text{при } x < 0. \end{cases} \end{aligned}$$

Источник  $Q$  в уравнении (1) связан с однократным рассеянием прямого света.

Присоединим к уравнению (1) нулевые краевые условия на верхней и нижней границах  $z = 0$  и  $z = H$  соответственно:

$$I(x, 0, \mu, \varphi) \Big|_{\mu>0} = 0, \quad I(x, H, \mu, \varphi) \Big|_{\mu<0} = 0, \quad (2)$$

означающие, что рассеянные фотонны не входят в область через эти границы.

Боковые границы  $x = -x^{aer}$  и  $x = x^{obl}$  (см. рис. 1) выберем настолько удаленными от плоскости  $x = 0$ , чтобы влияние разрыва свойств среды на решение  $I$

при  $x = -x^{aer}$ ,  $x = x^{obl}$  было пренебрежимо мало (алгоритм выбора этих точек описан в разд. 2). Зададим на этих границах условие полубесконечности [10]:

$$\begin{aligned} I(-x^{aer}, z, \mu, \varphi) \Big|_{0 < \varphi < \pi/2} &= I(-x^*, z, \mu, \varphi), \\ I(x^{obl}, z, \mu, \varphi) \Big|_{\pi/2 < \varphi < \pi} &= I(x^{**}, z, \mu, \varphi), \end{aligned} \quad (3)$$

где точки  $-x^*$  и  $x^{**}$  расположены на достаточном удалении как от внешних границ  $x = -x^{aer}$  и  $x = x^{obl}$ , так и от внутренней границы  $x = 0$ .

Использование краевых условий (3) приводит к тому, что решение  $I$  вблизи боковых границ не зависит от  $x$  и по величине совпадает со значением интенсивности излучения в глубинах облака (для  $x \approx x^{obl}$ ) и аэрозоля (для  $x \approx -x^{aer}$ ) [10]. Таким образом, задача (1)–(3) позволяет проводить расчеты интенсивности световых полей локально в окрестности границы разрыва свойств среды.

Рассмотрим модельную задачу, в которой высота области расчета  $H = 4$  км (см. рис. 1). Будем полагать, что непоглощающий аэрозоль имеет оптическую толщину  $\tau^{aer} = \sigma^{aer}H = 1,2$ , а рассеяние в нем моделируется фазовой функцией Хенни–Гринстейна с параметром асимметрии  $g^{aer} = 0,7$ . Облако имеет оптическую толщину  $\tau^{obl} = \sigma^{obl}H = 20$ , альбедо однократного рассеяния  $\lambda^{obl} = \sigma^{obl}/\sigma^{obl}$ , и рассеяние в нем происходит в соответствии с законом Ми [11] с параметром асимметрии  $g^{obl} = 0,856$ . Соответствующая фазовая функция получена для длины волны 412 нм в предположении, что капли в облаке характеризуются гамма-распределением частиц по размерам (модальный радиус 4 мкм, коэффициент вариации распределения 0,38).

Найдем в этой задаче коэффициент яркости отраженного в зените излучения (см. рис. 1):

$$R(x) = \pi I(x, 0, \Omega_{zenit}) / [E_0 |\cos\Theta_0|]. \quad (4)$$

Здесь  $E_0 = \pi S$  – освещенность площадки, нормальной к солнечному лучу, на верхней границе слоя  $z = 0$ .

Решение двумерной задачи (1)–(3) выполняется с помощью метода дискретных ординат по программе РАДУГА-5.2(П) [10] на параллельном суперком-

пьютере МВС-15000 ([www.jsc.ru](http://www.jsc.ru)). Коэффициент яркости  $R^{2D}(x)$ , полученный в рамках двумерной модели, представлен на рис. 2.

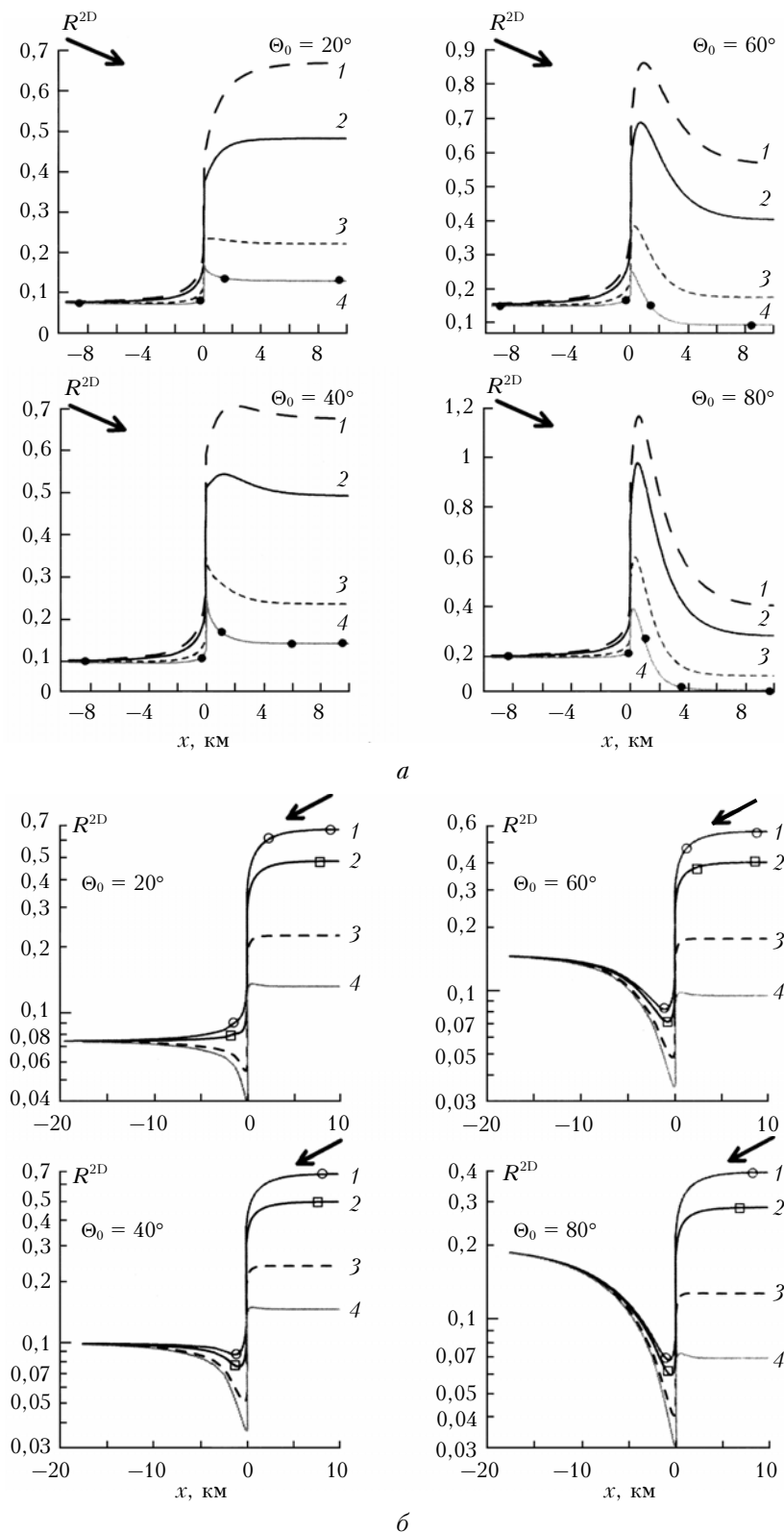


Рис. 2. Коэффициент яркости  $R^{2D}(x)$  при азимутальном угле Солнца  $\Phi = 0^\circ$  (*a*) и  $180^\circ$  (*b*), различных значениях зенитного угла Солнца  $\Theta_0$  и альбедо однократного рассеяния в облаке  $\lambda^{\alpha_1}$ : 1 –  $\lambda^{\alpha_1} = 1$ ; 2 – 0,99; 3 – 0,95; 4 – 0,9.

Направление движения нерассеянных фотонов указано черной стрелкой. На рис. 2, *a* используется линейный, на рис. 2, *б* – логарифмический масштаб.

Приведенные данные показывают, что, когда нерассеянные фотоны входят к облаку через вертикальную границу (при  $\Phi = 0^\circ$ ), возникает *эффект освещения*, т.е. максимум яркости в облаке вблизи его вертикальной границы (см. рис. 2, *a*). Этот максимум яркости возникает благодаря тому, что интенсивность нерассеянных фотонов в облаке, являющихся источником рассеянных фотонов, из-за малой оптической плотности аэрозоля имеет максимум вблизи вертикальной границы.

Если нерассеянные фотоны входят в облако только через его верхнюю границу (случай  $\Phi = 180^\circ$ , см. рис. 2, *б*), возникает *эффект затенения*, т.е. минимума яркости, в аэрозоле вблизи вертикальной границы. Этот минимум отвечает минимуму интенсивности нерассеянных фотонов в нижней части оптически плотного облака.

Увеличение зенитного угла Солнца  $\Theta_0$  приводит к усилению обоих эффектов. Уменьшение альбедо однократного рассеяния в облаке  $\lambda^{\text{обл}}$  усиливает эффект затенения и ослабляет эффект освещения.

## 2. Квазиодномерная модель

При реализации двумерного алгоритма важно знать границы  $-x^{\text{аэр}}$  и  $x^{\text{обл}}$ . Чтобы найти их, используем квазиодномерную модель [12], опирающуюся на *кусочно-линейную аппроксимацию решения  $I$  по высоте*:

$$\begin{aligned} I(x, z, \mu, \varphi) &= \\ &= \begin{cases} I_0(x, \mu, \varphi) + \frac{[I_H(x, \mu, \varphi) - I_0(x, \mu, \varphi)]z}{z_0} & \text{при } 0 \leq z \leq z_0, \\ I_H(x, \mu, \varphi) & \text{при } z_0 \leq z \leq H, \end{cases} \\ I(x, z, \mu, \varphi) &= \\ &= \begin{cases} I_0(x, \mu, \varphi) & \text{при } 0 \leq z \leq H - z_0, \\ I_0(x, \mu, \varphi) + \frac{[I_H(x, \mu, \varphi) - I_0(x, \mu, \varphi)](z - H + z_0)}{z_0} & \text{при } H - z_0 \leq z \leq H. \end{cases} \end{aligned}$$

Здесь точка  $z_0$  разбивает интервал  $(0, H)$  на два подинтервала, на одном из которых используется линейная, а на другом постоянная интерполяция для решения  $I$ . В частности, при  $z_0 = 0$  решение  $I$  на всем интервале  $[0, H]$  аппроксимируется константой. При  $z_0 = H$  решение  $I$  на всем интервале  $[0, H]$  заменяется линейной функцией:

$$I(x, z, \mu, \varphi) = I_0(x, \mu, \varphi) \left[ 1 - \frac{z}{H} \right] + \frac{I_H(x, \mu, \varphi)z}{H}$$

при  $z_0 = H$  и любом  $\mu$ .

Среднее по высоте решение  $\bar{I} = \frac{1}{H} \int_0^H dz I(x, z, \mu, \varphi)$

определяется уравнением

$$\xi \frac{\partial \bar{I}}{\partial x} + \bar{I} \bar{\sigma}(x, \mu) = \frac{1}{2\pi} \int_{-1}^1 d\mu' \int_0^\pi d\varphi' \bar{\sigma}_S(x, \mu, \mu', \varphi, \varphi') \bar{I}(x, \mu', \varphi') + \bar{Q}, \quad (5)$$

где  $\bar{\sigma}$ ,  $\bar{\sigma}_S$ ,  $\bar{Q}$  – коэффициенты и источник, усредненные по высоте с некоторыми весовыми функциями (см. [12]). Краевые условия для этого уравнения подобны (3):

$$\begin{aligned} \bar{I}(-X, \mu, \varphi) &|_{0 < \varphi < \pi/2} = \bar{I}(-x^*, \mu, \varphi), \\ \bar{I}(X, \mu, \varphi) &|_{\pi/2 < \varphi < \pi} = \bar{I}(x^{**}, \mu, \varphi). \end{aligned} \quad (6)$$

Предполагается, что координаты  $-X$  и  $X$  отвечают точкам, сильно удаленным от границы  $x = 0$ . Решение одномерной задачи (5), (6) находится сеточным методом [10]. Это требует гораздо меньше времени, чем решение двумерной задачи (1)–(3) даже для очень больших  $X$ .

Для рассмотренной выше модельной задачи были получены функции, характеризующие процентное отклонение коэффициента отраженной в зените яркости в пограничном слое от соответствующего его значения, относящегося к пространственным точкам, удаленным от горизонтальной неоднородности:

$$\begin{aligned} \varepsilon^{2D}(x) &= \begin{cases} 100 |1 - R^{2D}(x)/R^{2D}(-x^*)| \% & \text{при } x < 0, \\ 100 |1 - R^{2D}(x)/R^{2D}(x^{**})| \% & \text{при } x > 0, \end{cases} \\ \varepsilon^{1D}(x) &= \begin{cases} 100 |1 - R^{1D}(x)/R^{1D}(-x^*)| \% & \text{при } x < 0, \\ 100 |1 - R^{1D}(x)/R^{1D}(x^{**})| \% & \text{при } x > 0. \end{cases} \end{aligned}$$

Здесь функция  $R^{2D}(x)$  определяет коэффициент яркости (4), полученный по двумерной модели, тогда как функция  $R^{1D}(x)$  относится к аналогичной величине, найденной по квазиодномерной модели. Величины  $R^{2D}(-x^*)$  и  $R^{2D}(x^{**})$  можно рассматривать как значения коэффициентов яркости, полученные в *IPA-приближении*, где один пиксель занимает область  $x < 0$ , а другой – область  $x > 0$ . В этом случае функция  $\varepsilon^{2D}(x)$  определяет ошибку IPA-модели.

На рис. 3 приведены графики функций  $\varepsilon^{1D}(x)$  и  $\varepsilon^{2D}(x)$  для трех значений параметра  $p = z_0/(2H)$  ( $p = 0$ ,  $p = 1/3$ ,  $p = 1$ ). Там же штрихпунктирной линией обозначено значение допустимой ошибки в 5% (такой уровень выбран, поскольку точность и калибровка современной оптической аппаратуры, установленной на спутниках, обычно не лучше 5%).

Примем в качестве границы пограничного слоя точку, где функции  $\varepsilon^{1D}(x)$  и  $\varepsilon^{2D}(x)$  становятся меньше 5%. В табл. 1, 2 приведены значения размеров пограничных слоев, соответствующие точной 2D-

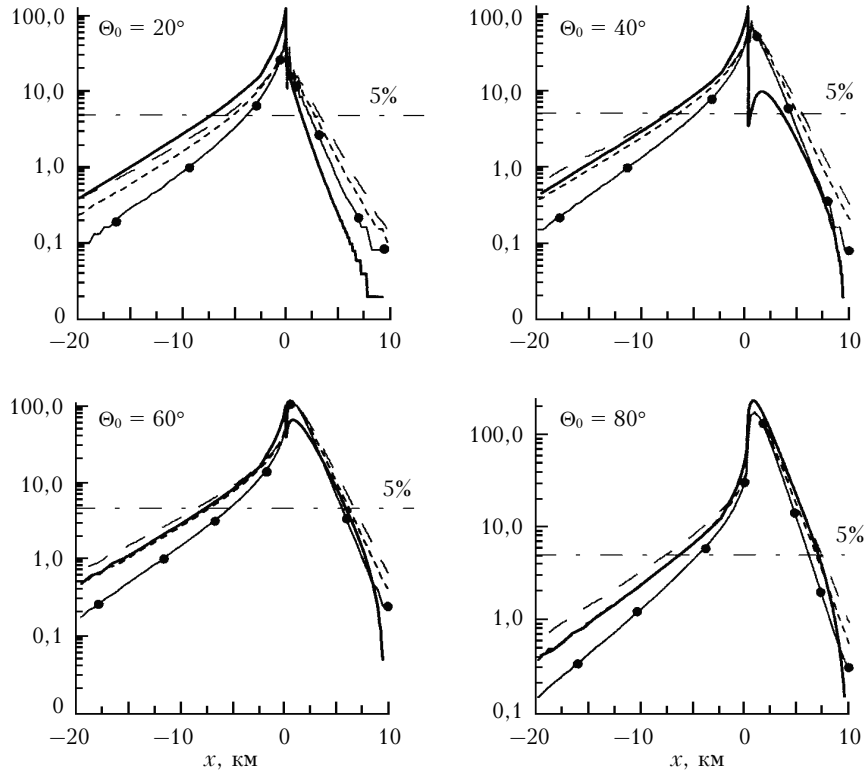


Рис. 3. Процентные отклонения  $\varepsilon^{1D}(x)$  и  $\varepsilon^{2D}(x)$  для  $\lambda^{обл} = 0,99$ ,  $\Phi = 0^\circ$  ( $\varepsilon^{1D}(x)$ :  $-- p = 0$ ;  $- - - p = 1/3$ ;  $- \bullet - 1$ ;  $- - \varepsilon^{2D}(x)$ )

Таблица 1  
Размеры пограничных слоев  $x^{aэр}$  и  $x^{обл}$  (км)  
при  $\Phi = 0^\circ$ ,  $p = 1/3$

$\lambda^{обл}$	Зенитный угол Солнца, град			
	20	40	60	80
В аэрозоле				
1	<b>7,2/9,3</b>	<b>8,5/9,4</b>	<b>8,6/8,9</b>	<b>7,9/8,0</b>
0,99	<b>5,1/7,2</b>	<b>6,8/7,7</b>	<b>7,1/7,5</b>	<b>6,5/6,5</b>
0,95	<b>0,8/1,9</b>	<b>2,1/2,8</b>	<b>2,6/3,2</b>	<b>2,3/2,4</b>
0,9	<b>0,5/0,4</b>	<b>0,2/0,9</b>	<b>0,14/1,0</b>	<b>0,9/0,6</b>
В облаке				
1	<b>0,5/2,7</b>	<b>4,9/0,4</b>	<b>6,4/5,9</b>	<b>7,1/7,1</b>
0,99	<b>2,8/1,5</b>	<b>4,8/0,2</b>	<b>6,0/5,7</b>	<b>6,6/6,8</b>
0,95	<b>3,0/1,0</b>	<b>4,0/3,0</b>	<b>4,9/4,6</b>	<b>5,3/5,5</b>
0,9	<b>2,6/1,5</b>	<b>3,3/2,4</b>	<b>4,2/3,7</b>	<b>4,4/4,4</b>

Таблица 2  
Размеры пограничных слоев  $x^{aэр}$  и  $x^{обл}$  (км)  
при  $\Phi = 180^\circ$ ,  $p = 1/3$

$\lambda^{обл}$	Зенитный угол Солнца, град			
	20	40	60	80
В аэрозоле				
1	<b>0,5/6,1</b>	<b>9,2/0,2</b>	<b>14,1/12,4</b>	<b>18,0/17,7</b>
0,99	<b>4,0/2,2</b>	<b>10,4/0,1</b>	<b>14,5/12,9</b>	<b>18,2/17,8</b>
0,95	<b>8,9/5,2</b>	<b>12,0/9,4</b>	<b>15,0/13,6</b>	<b>18,4/18,0</b>
0,9	<b>10,1/7,4</b>	<b>12,7/10,4</b>	<b>15,6/14,0</b>	<b>18,6/18,0</b>
В облаке				
1	<b>2,6/3,6</b>	<b>2,8/3,4</b>	<b>2,9/3,4</b>	<b>2,9/3,3</b>
0,99	<b>1,5/2,6</b>	<b>1,8/2,4</b>	<b>2,0/2,4</b>	<b>2,1/2,2</b>
0,95	<b>1,1/0,5</b>	<b>0,2/0,5</b>	<b>0,2/0,5</b>	<b>0,2/0,3</b>
0,9	<b>1,6/0,1</b>	<b>1,4/0,1</b>	<b>1,4/0,1</b>	<b>1,2/0,1</b>

и квазиодномерной 1D-моделям. В приближенной модели используется значение параметра  $p = 1/3$ , которое является наилучшим с точки зрения точности оценки в рассматриваемой задаче (см. рис. 3). Значения, стоящие перед косой чертой, получены по 1D-модели, а стоящие после — по 2D-модели.

Можно заключить, что квазиодномерная модель в оценке размеров пограничных слоев в облаке и в аэрозоле обладает достаточной точностью (до 1 км) при больших зенитных углах Солнца. При малых углах ( $\Theta_0 = 20^\circ$ ) ошибка может достигать 3 км. Значительные ошибки (до 10 км) возникают при оценке очень малых пограничных слоев ( $\Theta_0 = 40^\circ$ ).

Полученные с помощью квазиодномерной модели (5), (6) координаты  $-x^{aэр}$  и  $x^{обл}$  могут быть использованы, в частности, в расчете по двумерной модели (1)–(3). Отметим также, что оба представленных алгоритма могут быть легко обобщены на тот случай, когда граница двух сред криволинейная (как на реальных спутниковых фотографиях).

## Заключение

Рассмотрена задача расчета коэффициента яркости отраженного света вблизи локальной горизонтальной неоднородности облачно-аэрозольного слоя, где одномерные модели неприменимы. Для получения детального пространственного распределения коэффициента яркости в окрестности неоднородности предложена двумерная модель, опирающаяся на двумерное уравнение переноса излучения со специальными краевыми условиями.

Показано, что край облака существенно меняет распределение фотонов в атмосфере и порождает такие известные физические эффекты, как освещение края облака или затенение аэрозоля вблизи облака в зависимости от геометрии задачи [9, 13–16]. Эти эффекты являются следствием комбинаций многих параметров и могут быть найдены только в рамках многомерных моделей.

Оценку размеров пограничных слоев, в которых влияние этих эффектов на коэффициент яркости существенно, предлагается проводить с помощью квазиодномерного уравнения переноса (результат усреднения исходного двумерного уравнения переноса по высоте в предположении о кусочно-линейной зависимости интенсивности рассеянного света от высоты). Модель позволяет получать оценки размеров пограничных слоев при небольших временных затратах.

А.А. Кохановский благодарит за поддержку фонд немецкого физического общества (N DFG 688/8-1).

Работа выполнена при поддержке Программы фундаментальных исследований № 14 Президиума РАН «Фундаментальные проблемы информатики и информационных технологий».

1. Liou K.N. An Introduction to Atmospheric Radiation. New York: Academic Press, 2002. 578 p.
2. Аристова Е.Н., Гольдин В.Я. Расчет анизотропного рассеяния солнечного излучения в атмосфере (моно-энергетический случай) // Математическое моделирование. 1998. Т. 10. № 9. С. 13–34.
3. Kokhanovsky A.A., von Hoyningen-Huene W., Bovensmann H., Burrows J.P. The Determination of the Atmospheric Optical Thickness over Western Europe Using SeaWiFS Imagery // IEEE Trans. Geosci. and Remote Sens. 2004. V. 42. N 4. P. 824–832.
4. Kokhanovsky A.A., von Hoyningen-Huene W. Optical Properties of a Hurricane // Atmos. Res. 2004. V. 69. N 3–4. P. 165–183.
5. Marshak A., Davis A. Three-Dimensional Radiative Transfer in Cloudy Atmospheres. Berlin: Springer-Verlag, 2005. 686 p.
6. Иолтуховский А.А., Мишин И.В., Суникович Т.А. Решение уравнения переноса в трехмерно-неоднородном рассеивающем слое методом характеристик // Ж. вычисл. мат. и мат. физ. 1984. Т. 24. № 1. С. 92–108.
7. Журавлева Т.В. Статистическое моделирование распространения солнечной радиации: детерминированная атмосфера и стохастическая облачность: Автореф. дис... докт. физ.-мат. наук. Томск: Институт оптики атмосферы СО РАН, 2008. 39 с.
8. Titov G.A. Radiative Horizontal Transport and Absorption in Stratocumulus Clouds // J. Atmos. Sci. 1998. V. 55. N 15. P. 2549–2560.
9. Varnai T., Marshak A. Observations of Three-Dimensional Radiative Effects that Influence MODIS Cloud Optical Thickness Retrievals // J. Atmos. Sci. 2002. V. 59. N 9. P. 1607–1618.
10. Nikolaeva O.V., Bass L.P., Germogenova T.A., Kokhanovsky A.A., Kuznetsov V.S., Mayer B. The Influence of Neighbouring Clouds on the Clear Sky Reflectance Studied with the 3-D Transport Code RADUGA // J. Quant. Spectrosc. and Radiat. Transfer. 2005. V. 94. N 3–4. P. 405–424.
11. Hulst H.C. van de. Light Scattering by Small Particles. N. Y.: Dover, 1981. 470 p.
12. Nikolaeva O.V. Simplified 1D Model to 2D Transport Equation // Proc. of 20<sup>th</sup> Int. Conf. on Transport Theory. Obninsk, 2007. P. 35–37.
13. Kobayashi T., Masuda K., Sasaki M., Mueller J. Monte Carlo Simulations of Enhanced Visible Radiance in Clear-Air Fields of View Near Clouds // J. Geophys. Res. D. 2000. V. 105. N 21. P. 26569–26576.
14. Marshak A., Knyazikhin Y., Davis A.B., Wiscombe W.J., Pilewskie P. Cloud-Vegetation Interaction: Use of Normalized Cloud Index for Estimation of Cloud Optical Thickness // Geophys. Res. Lett. 2000. V. 27. N 12. P. 1695–1698.
15. Varnai T., Marshak A. A Method for Analyzing How Various Parts of Clouds Influence Each Other's Brightness // J. Geophys. Res. D. 2003. V. 108. N 22. P. 10.1029/2003JD003561.
16. Varnai T., Marshak A. Observations of Three-Dimensional Radiative Effects that Influence MODIS Cloud Optical Thickness Retrievals // J. Atmos. Sci. 2002. V. 59. N 9. P. 1607–1618.

*L.P. Bass, [T.A. Germogenova, O.V. Nikolaeva, A.A. Kokhanovsky, V.S. Kuznetsov. Numerical simulation of boundary effects in optics of aerosols and clouds.*

The problem of calculation of brightness coefficient of the solar light reflected by the atmosphere in regions with spatially-local horizontal inhomogeneities (surface of medium discontinuity) is considered in case when usual one-dimensional one-layer model is not applicable. Two-dimensional model allowing a detailed spatial distribution of brightness coefficient in the vicinity of the inhomogeneity is suggested. Typical distributions are obtained via this model. Quasi-one-dimensional model is suggested for operative estimation of a subregion size, where multi-dimensional effects in brightness are essential. Numerical testing of this model is carried out.